

UNIVERSIDADE FEDERAL DO PARANÁ
PROGRAMA DE PÓS-GRADUAÇÃO EM CIÊNCIAS GEODÉSICAS
LABORATORIO DE GEODESIA ESPACIAL E HIDROGRAFIA

**ANÁLISIS Y CARACTERIZACIÓN DE SEÑALES DE RUIDO
EN SERIES TEMPORALES GPS Y SU INFLUENCIA EN LA
DETERMACIÓN DE VELOCIDADES**

**CHRISTIAN GONZALO PILAPANTA AMAGUA
CLAUDIA PEREIRA KRUEGER
ALFONSO TIERRA CRIOLLO**

BRASIL, 2019



GENERALIDADES

A. CÁLCULO DE DESPLAZAMIENTOS LINEALES (VELOCIDADES)

Actualmente ...

- ✓ Datos GPS son la principal fuente para monitoreo de deformaciones.
- ✓ Cálculo de desplazamientos lineales (vector de velocidades)

Determinación por regresión lineal
(uso de modelos de trayectorias).

- ✓ Ajuste de observaciones (datos)

Método de mínimos cuadrados.

- ✓ Caracterización del error a-priori de los datos (estadísticamente)

- Normal (Gaussiano)
- No correlacionado (Ruido blanco)

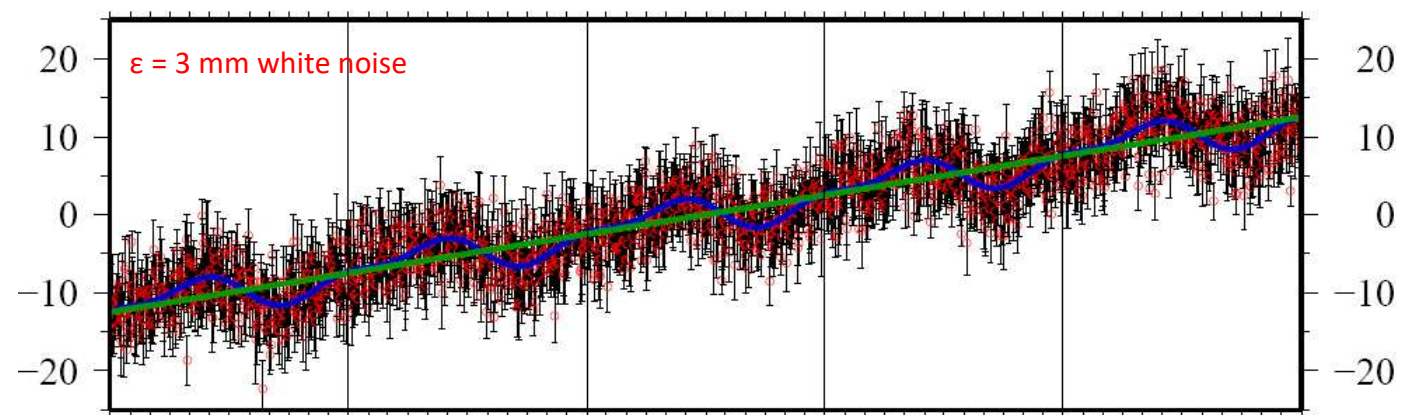


Figura. Serie de coordenadas. Estación GNSS JPLM. IGS
(Fuente: Herring, T. A. et al. 2018)

$$x^i = x_0^i + v^i(t - t_0) + A_0^i \cos\left(\frac{2\pi(t - t_0)}{T_0} - \tau_0\right) + A_1^i \cos\left(\frac{2\pi(t - t_0)}{T_1} - \tau_1\right) + \varepsilon$$

Posición en el tiempo t

Velocidad (lineal)

Componente periódica

Error

Posición inicial (t_0)

Periodicidad anual (sinusoidal)

Periodicidad semi-anual (sinusoidal)

B. COMPONENTE CÍCLICA. VELOCIDADES Y PERIODICIDAD DE LOS DATOS

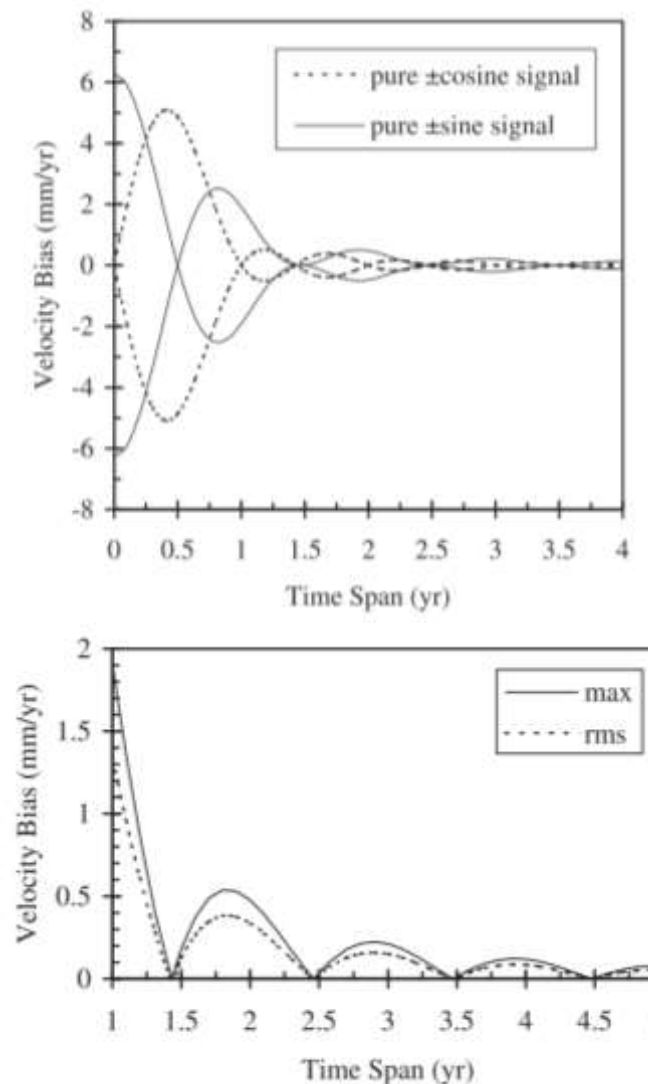


Figura. Degradación de las velocidades en función de la periodicidad de los datos
(Fonte: Blewitt, G. & Lavallée, D. 2002)

- ✓ Estudio de BLEWITT, G.; LAVALLÉE, D. Effect of annual signals on geodetic velocity. **Journal of Geophysical Research**, v. 107, n. B7, p. ETG 9-1-ETG 9-11, 2002.

Estudio **TEÓRICO** de Series Temporales = Análisis de la **DEGRADACIÓN** de los vectores de velocidad debido a la periodicidad de los datos.

Periodicidad (principalmente anual) se debe a:

- Variaciones de las **condiciones atmosféricas** (propagación de la señal)
- Deformación superficial por **efectos de carga** (ciclo hidrológico)
- **Errores sistemáticos** (monumentación e elementos de las antenas)

En la Figura

- Superior: BIAS en las velocidades de una señal sinusoidal (seno e coseno) con un 1 mm de amplitud.
- Inferior: BIAS máximo (max) e RMS de las velocidades de una señal sinusoidal anual (1 mm de amplitud) en relación al período de datos.

B. COMPONENTE CÍCLICA. VELOCIDADES Y PERIODICIDAD DE LOS DATOS

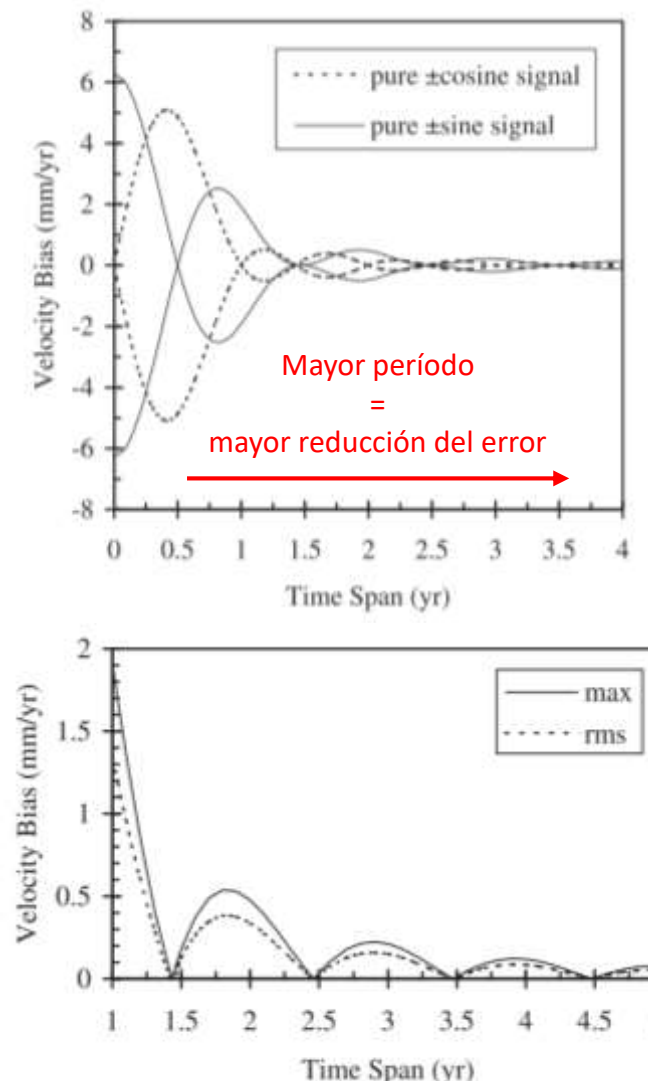


Figura. Degradación de las velocidades en función de la periodicidad de los datos
(Fonte: Blewitt, G. & Lavallée, D. 2002)

Posibles soluciones al problema:

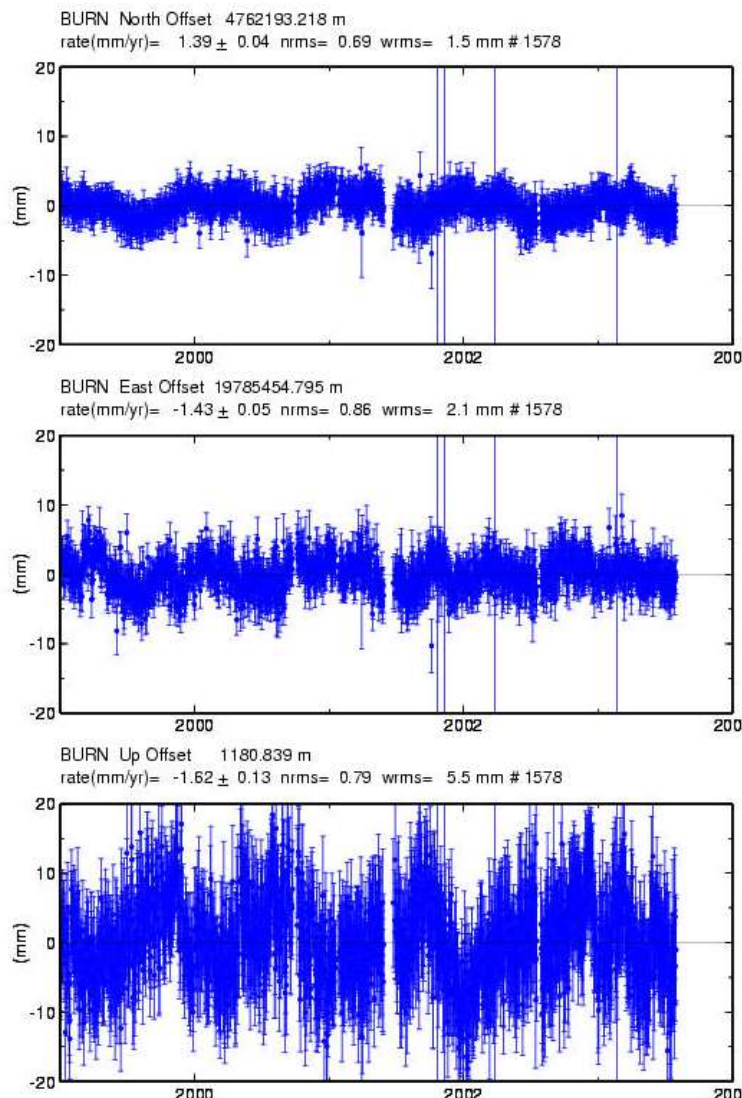
- ✓ Herring, T. A. et al. (2018) recomienda:

- Para levantamientos geodésicos por sesiones (survey-mode measurements) **es necesario realizar las observaciones en la misma época cada año** = Eliminación de señales periódicas anuales y semestrales **en caso de existir**.
- Para levantamientos geodésicos continuos (redes de monitoramiento continuo) la **eliminación o reducción** de los errores dependerá directamente de los períodos de los datos (VER FIGURA).

***IMPORTANTE:** En que punto **truncar la serie?** De acuerdo con Blewit & Lavallée (2002):

- El punto de truncamiento óptimo = medio año.
- Si los errores estacionales no son dominantes, extender el truncamiento de la serie de tiempo (e.g. de 4 años en lugar de 3.5 años, produce un sesgo (BIAS) más pequeño.

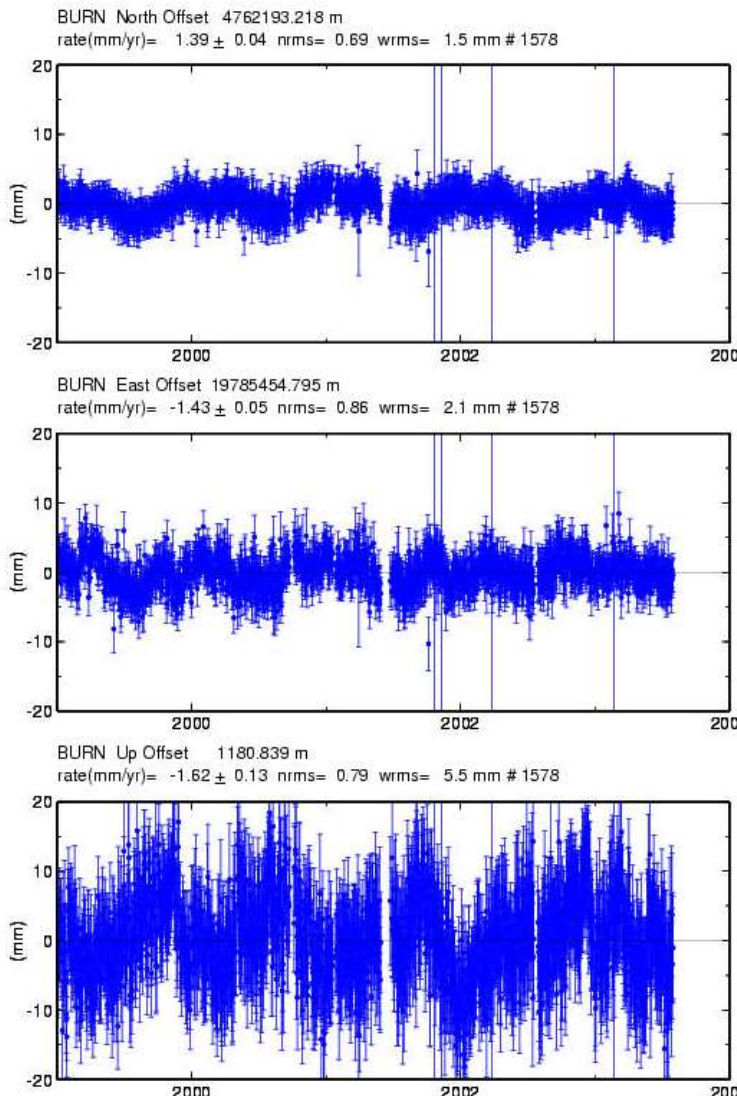
C. COMPONENTE DIARIA. SEÑALES DE RUÍDO E CORRELACIÓN



- ✓ Ejemplo: Estación BURN (Oregon, USA) ([Herring, T. A. et al. 2018](#)):
- Correlación temporal entre 60 e 200 días + componentes periódicas.
WRMS por componente:
 - Componente horizontal: 2 mm
 - Componente vertical: 6 mm
 - Error formal de las velocidades bajo la suposición de la presencia de ruido blanco (escalonamiento por NRMS):
 - Componente horizontal: 0.03 mm / año
 - Componente vertical: 0.10 mm / año
 - Tiempo de correlación para obs. independientes = aprox. 100 días.
Analizando los 100 primeros días, se obtiene un error formal de:
 - Componente horizontal: 0,30 mm / año
 - Componente vertical: 1,00 mm / año

Figura. Serie de coordenadas. Estación GNSS BURN
(Fuente: Herring, T. A. et al. 2018)

C. COMPONENTE DIARIA. SEÑALES DE RUÍDO E CORRELACIÓN



Posibles soluciones al problema:

- ✓ Caracterización de la correlación de los señales de ruido

Técnica de cálculo utilizadas:

- Análisis espectral

Modelo de Ley de Potencias (Power Law)

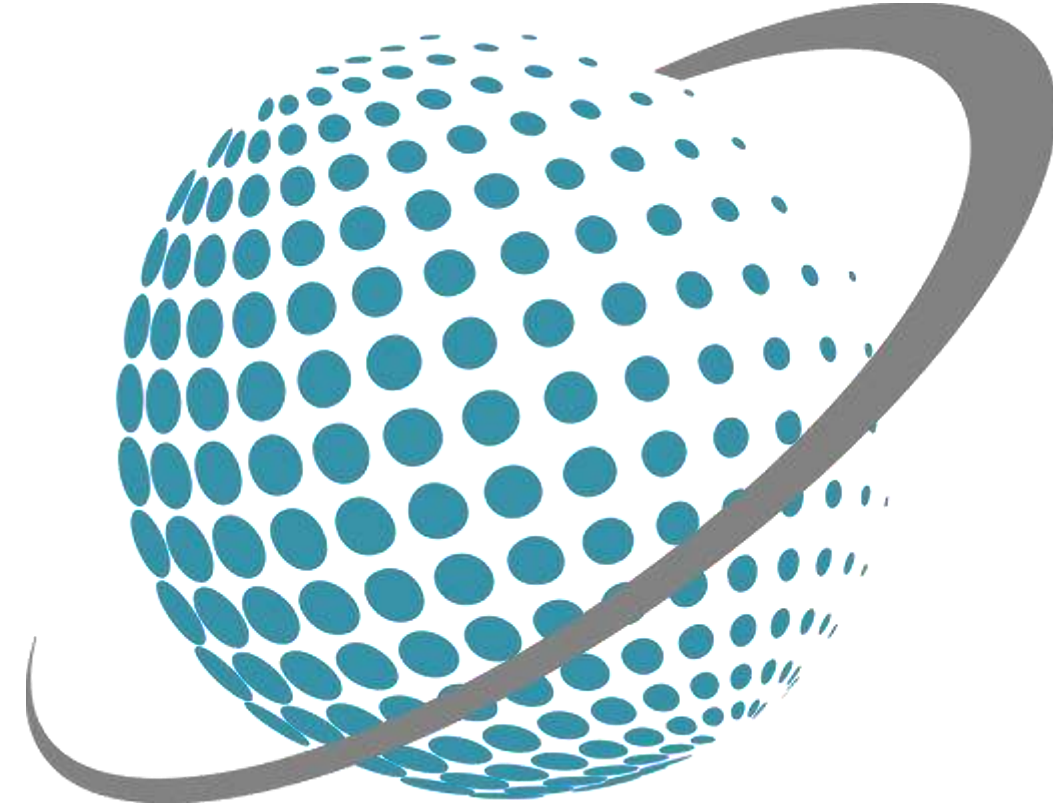
- Relación empírica entre el señal de ruido blanco e otros señales de ruido correlacionados.

Relación señal – ruido (signal to noise ratio)

- Estimación (rigorosa) de los tiempos de correlación.

Análisis y ajuste individual de las señales de ruido.

Figura. Serie de coordenadas. Estación GNSS BURM
(Fuente: Herring, T. A. et al. 2018)



METODOLOGÍA

D. DETERMINACIÓN DE SEÑALES DE RUIDO

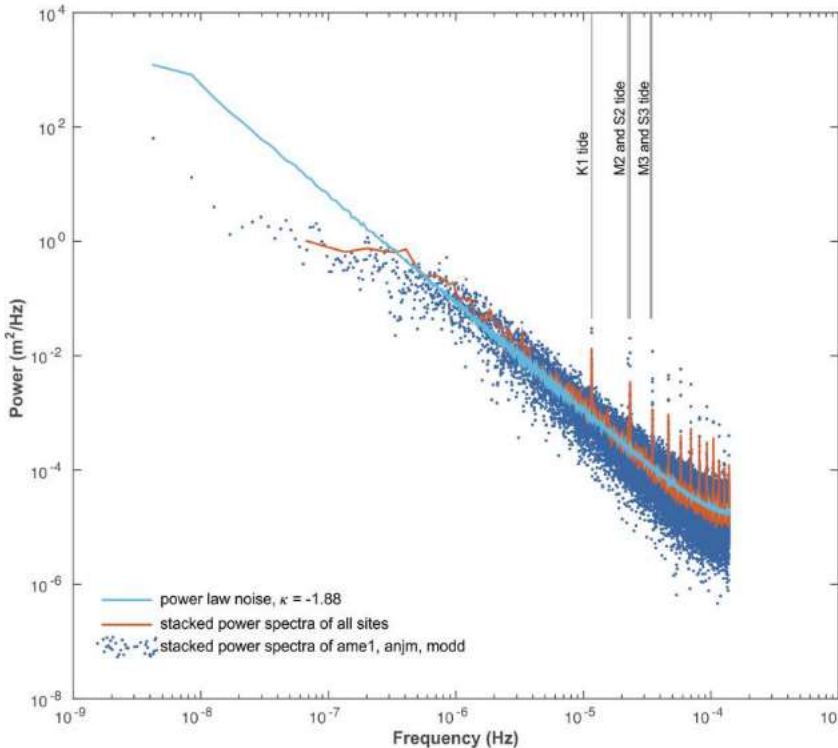


Figura. Espectro de frecuencia de la serie temporal combinada (componente vertical). Estaciones GNSS AME1, ANJM, MODD
(Fuente: Williams, S. 2015)

A. Modelo Estocástico de Series

- ✓ Señales de ruido en las observaciones GPS (continuas) descritas como un proceso de “Ley de Potencias” (Mandelbrot e Van Ness, 1968; Agnew, 1992).
 - Proceso estocástico unidimensional cuyo comportamiento en el dominio del tiempo es tal que su **espectro de frecuencia (potencia) adopta la forma:**

$$P_x(f) = P_0 \left(\frac{f}{f_0} \right)^\kappa$$

Donde:

P_0, f_0 constantes de normalización.

f frecuencia espacial o temporal.

κ índice espectral (valor en el intervalo de -3 a 1).
(inclinación/pendiente de la línea)

D. DETERMINACIÓN DE SEÑALES DE RUIDO

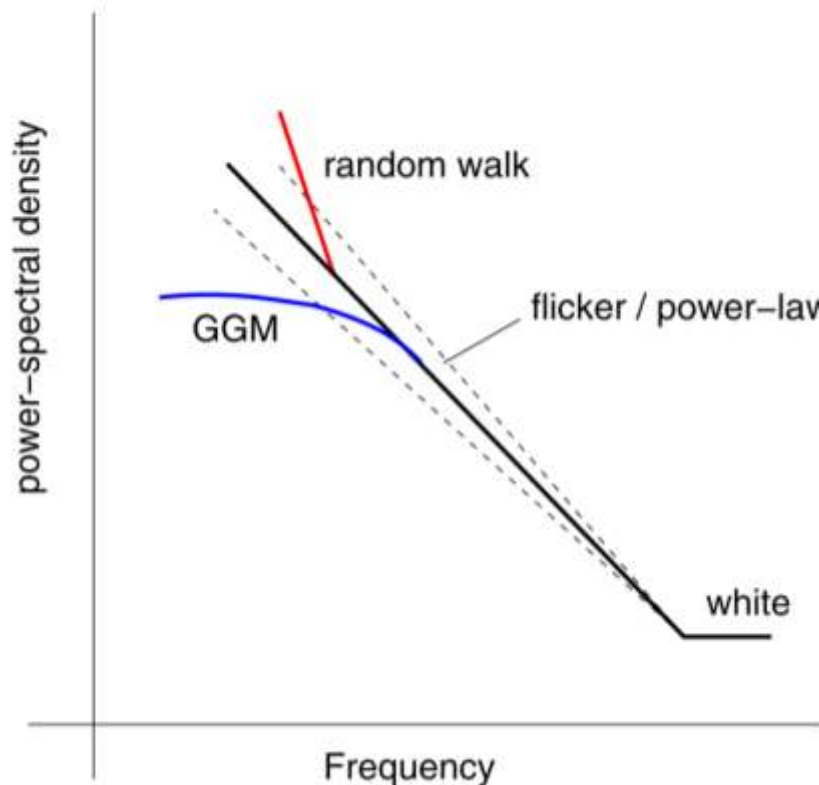


Figura. Representación esquemática de los diferentes procesos estocásticos (señales de ruido)
(Fuente: He, X. et al. 2019)

B. Principales procesos estocásticos (Mandelbrot 1977, 1983)

- ✓ Fractional Brownian motion

$$-3 < \kappa < -1$$

- ✓ Fractional White noise

$$-1 < \kappa < 1$$

C. Casos especiales

- ✓ Classical White noise

$$\kappa = 0$$

COLOURED NOISE

- ✓ Flicker noise

$$\kappa = -1$$

- ✓ Random walk noise

$$\kappa = -2$$

D. DETERMINACIÓN DE SEÑALES DE RUIDO

D. Algunos problemas del modelo de “Ley de Potencias”

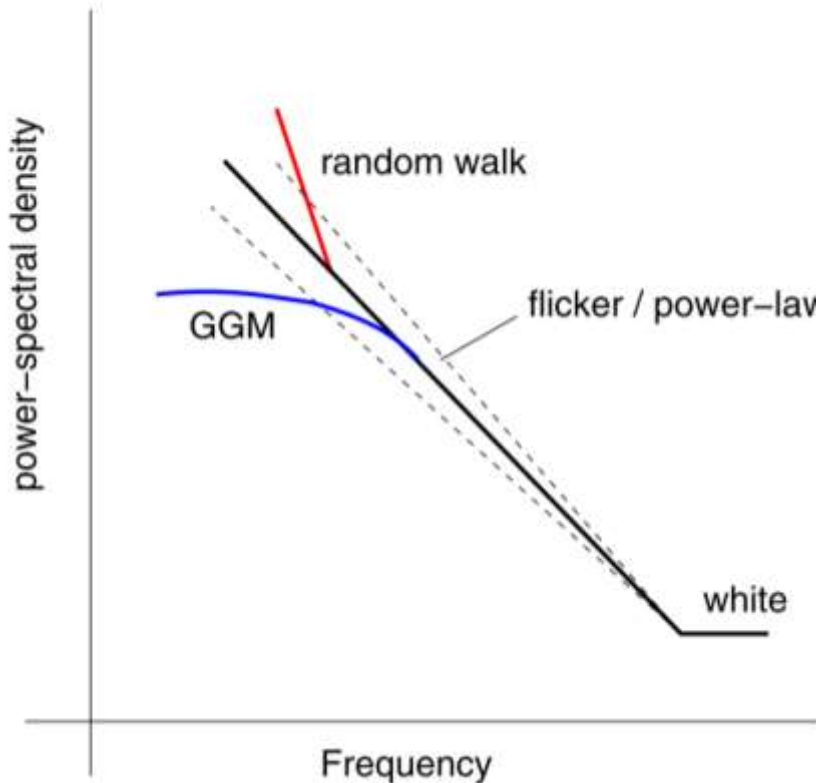


Figura. Representación esquemática de los diferentes procesos estocásticos (señales de ruido)
(Fuente: He, X. et al. 2019)

- ✓ Computacionalmente complejo.
- ✓ Ningún modelo capture de manera confiable la parte del espectro con las menores frecuencias.
- ✓ Existe la posibilidad de que el ruido no sea estacionario (cambio en función del tiempo)
 - En este caso, el modelo es considerado inválido.

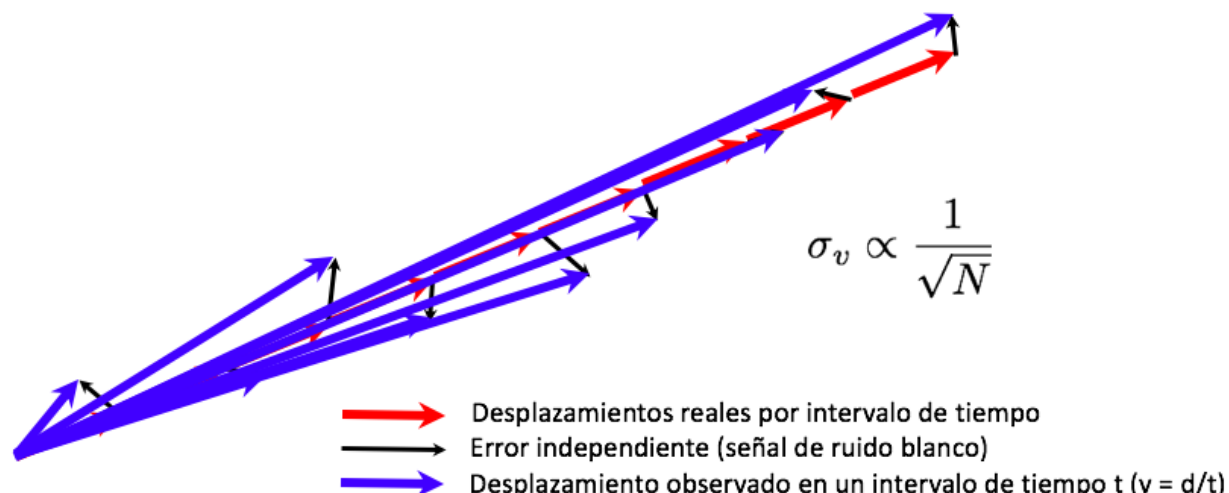
$$P_x(f) = P_0 \left(\frac{f}{f_0} \right)^\kappa$$

A large red 'X' is drawn over this equation, indicating it is incorrect or invalid.

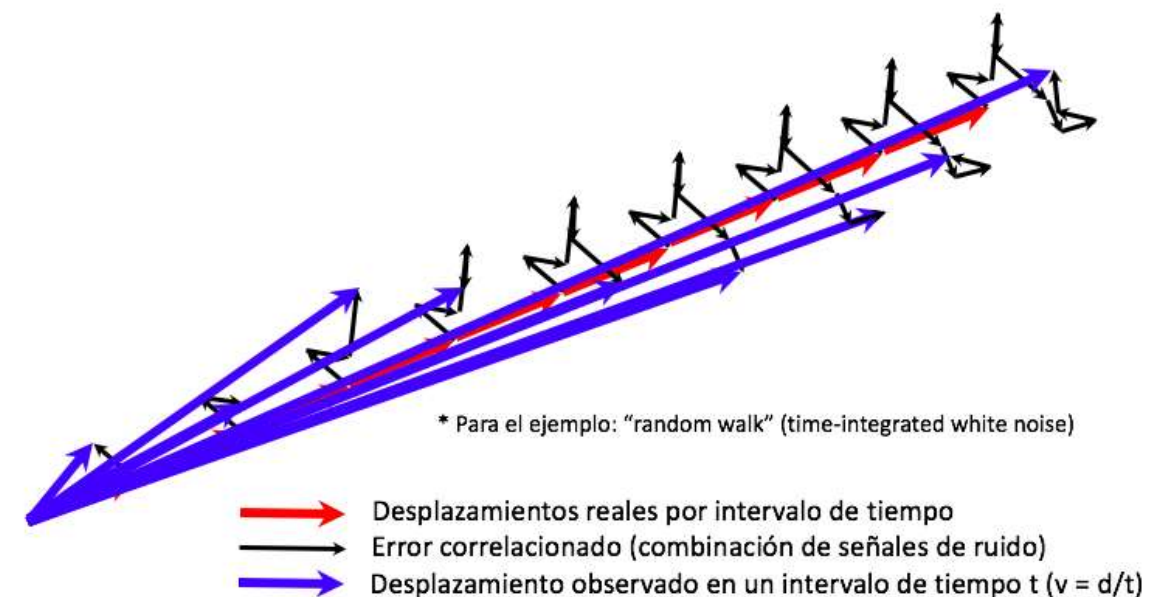
E. SEÑALES DE RUIDO Y VELOCIDADES

VECTOR DE VELOCIDADES

WHITE NOISE



COLOURED NOISE



- ✓ No correlacionado en el tiempo.
- ✓ Magnitud tiene una función de probabilidad continua
- ✓ Direcciones son uniformes (randómicas).

- ✓ Correlacionado en el tiempo.
- ✓ Convergencia de las vel. al valor verdadero es más lenta.
- ✓ Incertidumbre de las velocidades es mayor.

E. SEÑALES DE RUIDO Y VELOCIDADES

A. REGRESIÓN LINEAL (Williams, S. D. P. 2003b)

- ✓ Ecuación básica

$$x_i = x_0 + vt_i + \varepsilon_x(t_i)$$

donde, el término de error $\varepsilon_x(t_i)$ es:

$$\varepsilon_x(t_i) = a\alpha(t_i) + b_{\kappa}\beta(t_i)$$

siendo:

a amplitud del ruido blanco.

$b_{\kappa \neq 0}$ amplitud del ruido colorido.

- ✓ La MVC de las observaciones x_i es representada como:

$$\mathbf{C}_x = a^2 \mathbf{I} + b_{\kappa}^2 \mathbf{J}_{\kappa}$$

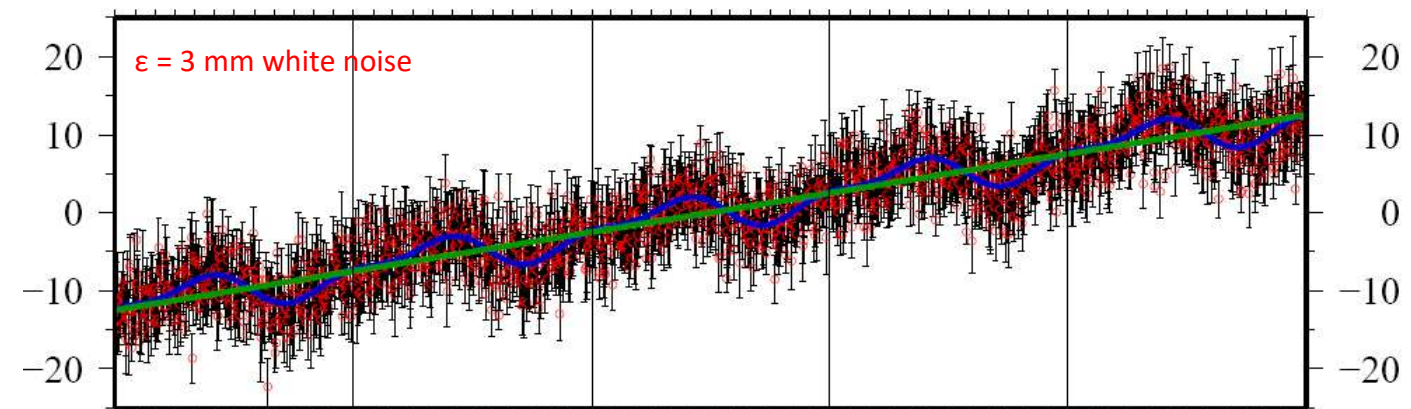


Figura. Serie de coordenadas. Estación GNSS JPLM. IGS
(Fuente: Herring, T. A. et al. 2018)

Posición en el tiempo t

Velocidad (lineal)

Componente cíclico

Error

Posición inicial (t_0)

Periodicidad anual (sinusoidal)

Periodicidad semi-anual (sinusoidal)

$$x^i = x_0^i + v^i(t - t_0) + A_0^i \cos\left(\frac{2\pi(t - t_0)}{T_0} - \tau_0\right) + A_1^i \cos\left(\frac{2\pi(t - t_0)}{T_1} - \tau_1\right) + \varepsilon$$

F. MATRICES VARIANZA – COVARIANZA. MVC

A. MVC DE LAS OBSERVACIONES

$$\mathbf{C}_x = a^2 \mathbf{I} + b_k^2 \mathbf{J}_k$$

donde:

\mathbf{I} matriz identidad.

\mathbf{J}_k matriz covarianza del ruido colorido.

- ✓ Usando mínimos cuadrados, v y x_0 son obtenidos a través de la ecuación:

$$\hat{\mathbf{y}} = (\hat{x}_0, \hat{v})^T = [\mathbf{A}^T \mathbf{C}_x^{-1} \mathbf{A}]^{-1} \mathbf{A}^T \mathbf{C}_x^{-1} \mathbf{x}$$

donde:

$$\mathbf{x} = (x_1, x_2, \dots, x_n)^T$$

B. MVC DE LOS PARÁMETROS

$$\hat{\mathbf{C}}_y = [\mathbf{A}^T \mathbf{C}_x^{-1} \mathbf{A}]^{-1}$$

C. MVC DE LA SEÑAL DE RUIDO (LEY DE POTENCIA) \mathbf{J}_k

Puede ser calculada a través de la Ley de Propagación de Covarianzas (Johnson & Watt, 1994). Esto es:

$$\mathbf{J}_k = \mathbf{T} \mathbf{C}_d \mathbf{T}^T$$

donde:

\mathbf{T} matriz de transformación.

\mathbf{d} vector de variables aleatorias con varianza unitaria (IID).

Tal que:

$$\mathbf{x} = \mathbf{T}\mathbf{d}$$

Caso especial ($\mathbf{C}_d = \mathbf{I}$), donde:

$$\mathbf{J}_k = \mathbf{T}\mathbf{T}^T$$

G. MATRICES DE TRANSFORMACIÓN

Describa por Hosking (1981) usando el método de integración fraccionario:

$$T = \Delta T^{-\frac{\kappa}{4}} \begin{vmatrix} \psi_0 & 0 & 0 & \cdots & 0 \\ \psi_1 & \psi_0 & 0 & \cdots & 0 \\ \psi_2 & \psi_1 & \psi_0 & \cdots & 0 \\ \vdots & \vdots & \vdots & \ddots & \vdots \\ \psi_n & \psi_{n-1} & \psi_{n-2} & \cdots & \psi_0 \end{vmatrix}$$

donde:

$$\Delta T_j = |t_j - t_0|$$

$$\psi_n = \frac{-\frac{\kappa}{2} \left(1 - \frac{\kappa}{2}\right) \cdots \left(n - 1 - \frac{\kappa}{2}\right)}{n!} = \frac{\Gamma\left(n - \frac{\kappa}{2}\right)}{n! \Gamma\left(-\frac{\kappa}{2}\right)}$$

Tal que:

$$n \rightarrow \infty , \quad \psi_n \sim \frac{n^{-\frac{\kappa}{2}-1}}{\Gamma\left(-\frac{\kappa}{2}\right)}$$

Ejemplo:

- ✓ Señal de Ruido Blanco ($\kappa = -2$ entonces $\psi_n = 1$)

Matriz de transformación igual a

$$T = \begin{vmatrix} 1 & 0 & 0 & \cdots & 0 \\ 1 & 1 & 0 & \cdots & 0 \\ 1 & 1 & 1 & \cdots & 0 \\ \vdots & \vdots & \vdots & \ddots & \vdots \\ 1 & 1 & 1 & \cdots & 1 \end{vmatrix}$$

MVC de la señal de ruido blanco (J_{-2}) igual a:

$$J_{-2} = \begin{vmatrix} \Delta T_1 & \Delta T_1 & \Delta T_1 & \cdots & \Delta T_1 \\ \Delta T_1 & \Delta T_2 & \Delta T_2 & \cdots & \Delta T_2 \\ \Delta T_1 & \Delta T_2 & \Delta T_3 & \cdots & \Delta T_3 \\ \vdots & \vdots & \vdots & \ddots & \vdots \\ \Delta T_1 & \Delta T_2 & \Delta T_3 & \cdots & \Delta T_n \end{vmatrix}$$

H. CÁLCULO DE LAS SEÑALES DE RUIDO (PARÁMETROS κ , C_x)

A. ESTIMADOR DE MÁXIMA VERO SIMILITUD

(Langbein & Johnson 1997)

- Cálculo de las componentes de ruido y de los parámetros de la función lineal a través del uso del MLE (Computacionalmente más eficaz).

→ Requiere la maximización de la función de probabilidad (FDP) a través del ajuste de la matriz varianza-covarianza de los datos.

→ Método de ajuste iterativo.

✓ Formula matemática

Sea x el vector de observaciones, la función de verosimilitud para su matriz de varianza-covarianza C_x es:

$$l(x, C_x) = \frac{1}{(2\pi)^{n/2}(\det C_x)^{1/2}} \exp(-0,5\hat{v}^T C_x^{-1} \hat{v})$$

Donde:

n número de datos.

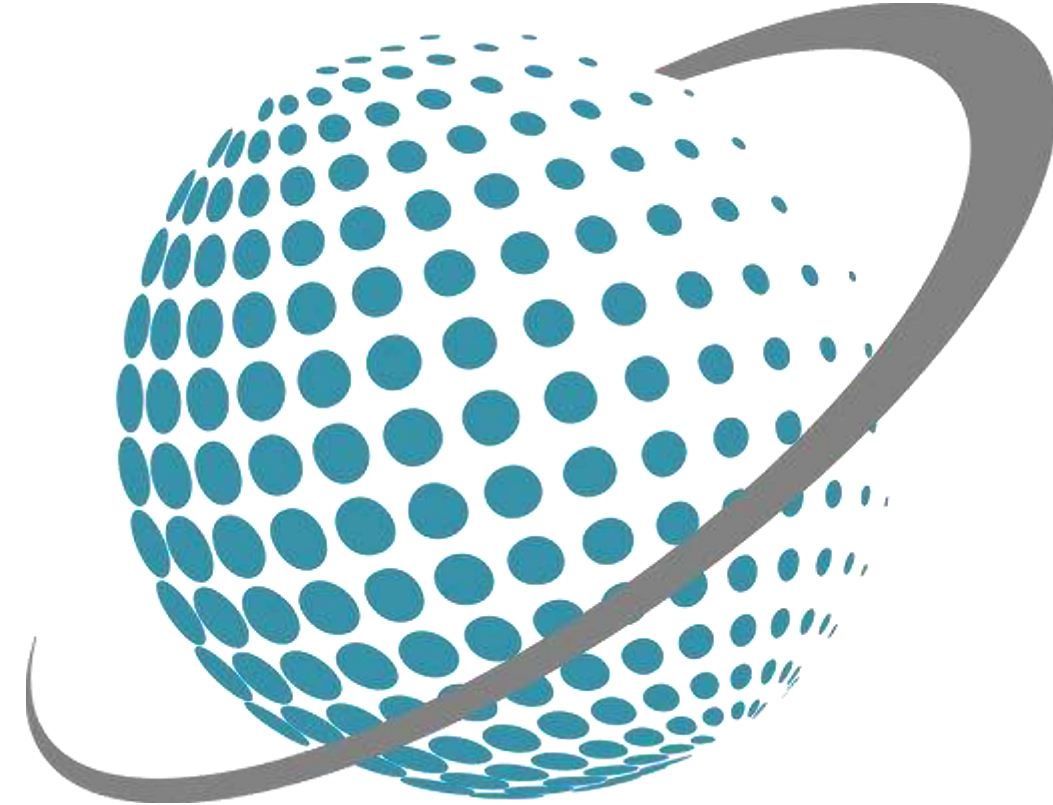
\hat{v} matriz de residuos (post-fit residuals).

\det determinante de la matriz.

✓ Evaluación del ajuste

A través del Criterio de Información Bayesiano (BIC):

$$BIC = -2 [l(x, C_x)] + p \ln(n)$$



DESARROLLO Y RESULTADOS

I. ÁREA DE ESTUDIO Y MÉTODOLOGÍA DE PROCESAMIENTO DE DATOS



Figura. Rede Brasileira de Monitoramento Contínuo RBMC
(Fuente: IBGE. 2019)

✓ Dados GPS evaluados

159 estaciones de monitoreo continuo pertenecientes a la RBMC

✓ Período de tiempo

Últimos 10 años (2007 – 2017)

✓ Procesamiento de Dados

Software: Bernese GNSS. Versión 5.2

Marco de Referencia: IGB08

Metodología base:

- BRUNINI, C. et al. Improved Analysis Strategy and Accessibility of the SIRGAS Reference Frame. International Association of Geodesy Symposia, v. 136, p. 3–10, 2012. ISSN 09399585.
- SÁNCHEZ, 2017. Diretrizes para os Centros de Análise SIRGAS.

J. RESULTADOS. SEÑALES DE RUÍDO POR ESTACIÓN

- ✓ Determinación del modelo estocástico mejor ajustado por estación

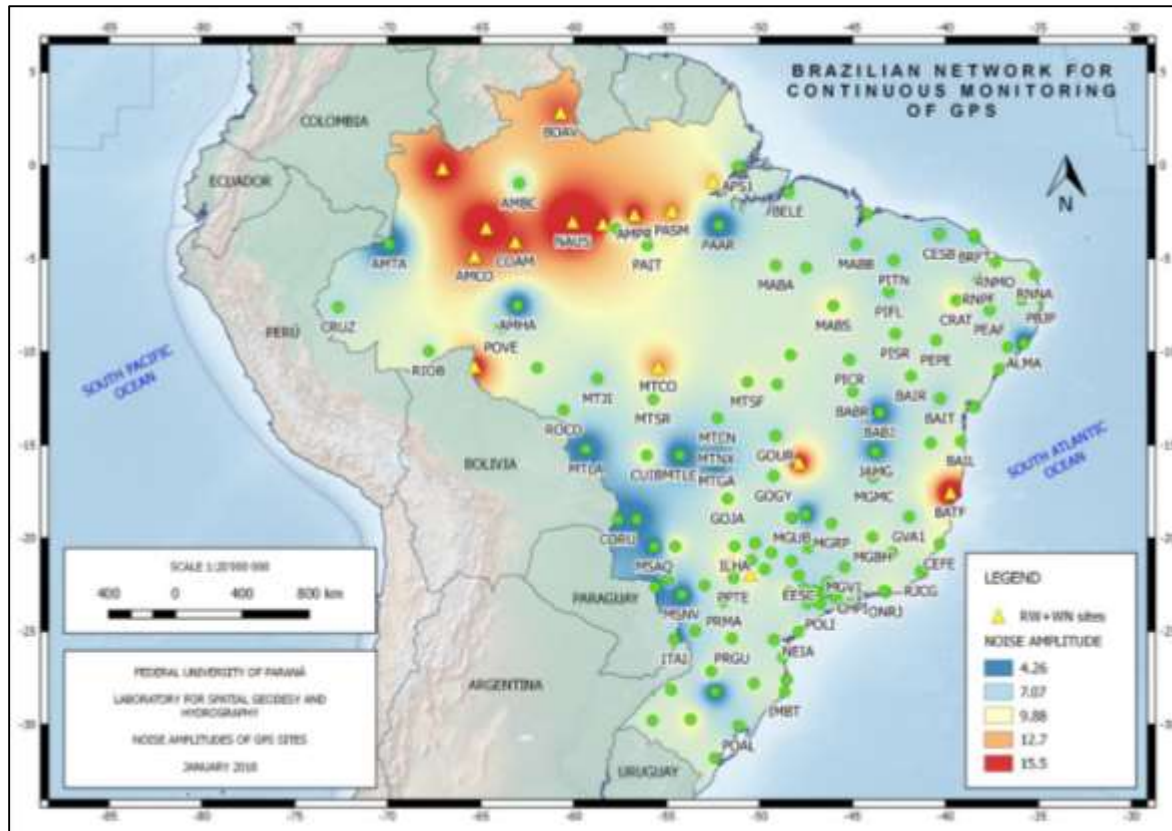


Figura. Amplitud de las señales de ruido de las estaciones GNSS de la Rede Brasileira de Monitoramento Contínuo dos Sistemas GNSS. RBMC
(Fuente: IBGE. 2019)

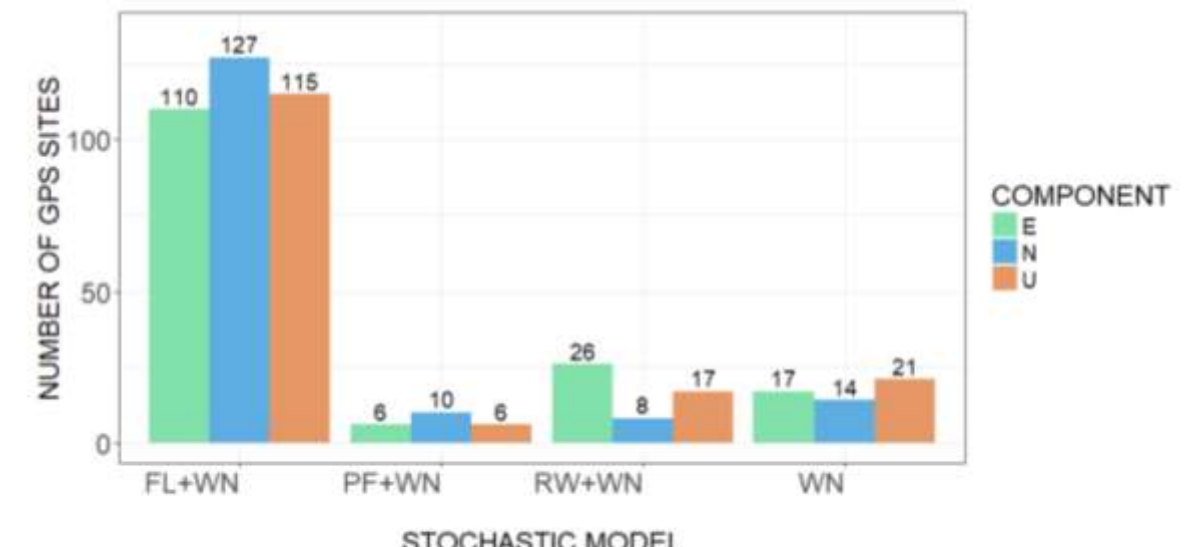


Figure 1: Distribution of noise models for the RBMC data

Table 1: Distribution of noise models for the RBMC data

ORD	STOCHASTIC MODEL	EAST		NORTH		UP	
		TOTAL	%	TOTAL	%	TOTAL	%
1	White Noise	17	11	14	9	21	13
2	Flicker Noise + White Noise	110	69	127	80	115	72
3	Random-Walk Noise + White Noise	26	16	8	5	17	11
4	Fractional Power-Law noise + White Noise	6	4	10	6	6	4

J. RESULTADOS. SEÑALES DE RUÍDO POR ESTACIÓN

- ✓ Análisis del nivel de ruido (acumulado) por estación y por sector

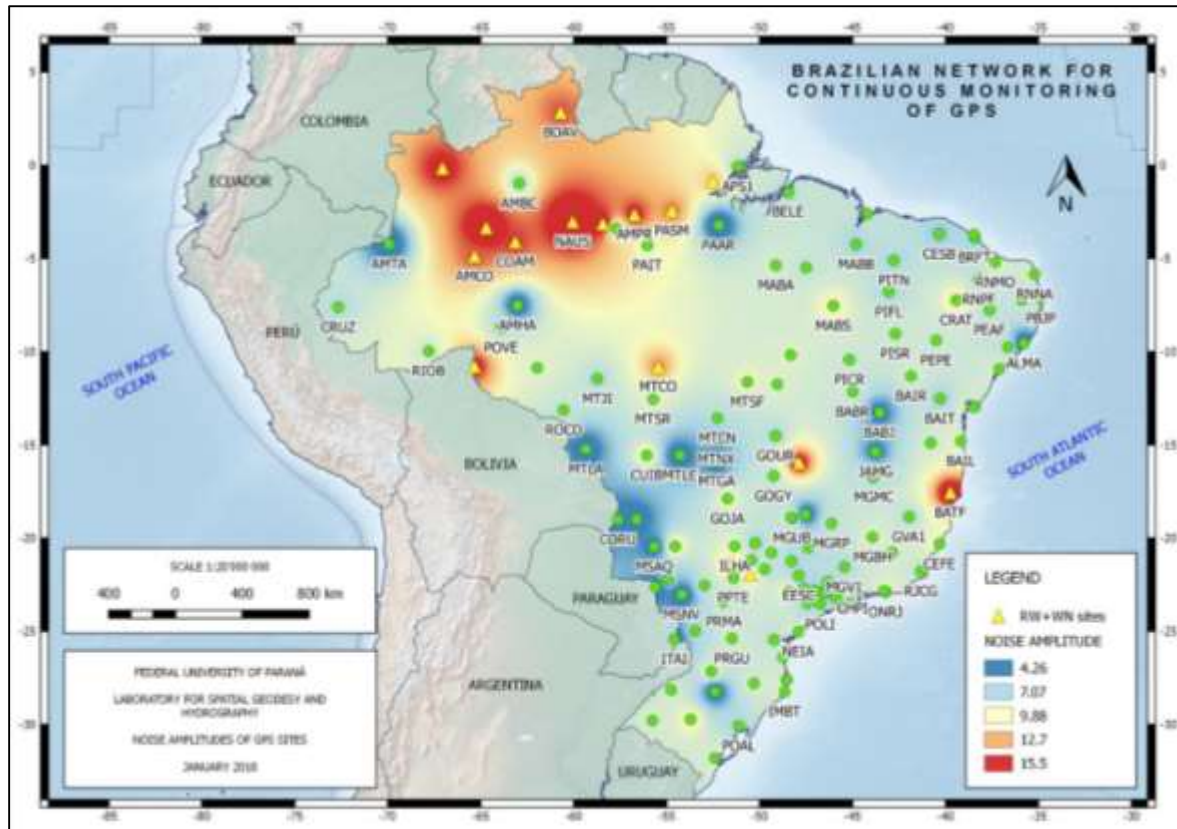


Figura. Amplitud de las señales de ruido de las estaciones GNSS de la Rede Brasileira de Monitoramento Contínuo dos Sistemas GNSS. RBMC
(Fuente: IBGE. 2019)

Table 3: Sites with the highest accumulated noise values

ORD	SITE	MODEL	$\Sigma\sigma$ (mm)	SITE	MODEL	$\Sigma\sigma$ (mm)	SITE	MODEL	$\Sigma\sigma$ (mm)
1	CRAT	RW+WN	9,36	UBA1	RW+WN	8,67	NAUS	RW+WN	20,75
2	CEFT	RW+WN	8,51	CUIB	RW+WN	6,75	AMTE	FL+WN	20,14
3	VARG	RW+WN	8,45	RECF	FL+WN	6,69	BATF	RW+WN	17,10
4	UBA1	RW+WN	8,01	SCAQ	RW+WN	6,23	AMUA	FL+WN	18,83
5	BRAZ	RW+WN	7,34	SJSP	RW+WN	6,00	BRAZ	RW+WN	17,58
6	BATF	RW+WN	7,33	SAGA	FL+WN	5,57	ITAM	FL+WN	17,39
7	SSA1	RW+WN	7,04	RSAL	RW+WN	5,41	SAGA	FL+WN	14,16
8	CEEU	RW+WN	6,99	MSCG	FL+WN	4,91	AMPR	FL+WN	15,55
9	RNMO	RW+WN	6,92	AMTE	FL+WN	4,87	ROGM	FL+WN	14,20
10	CUIB	RW+WN	6,79	POLI	FL+WN	4,72	COAM	FL+WN	14,39

* WN: White noise; FL: Flicker noise; RW: Random-walk; PL: Power-Law noise

J. RESULTADOS. EFECTOS QUE INCIDEN EN LA DEGRADACIÓN DE LOS DATOS

- ✓ Análisis del nivel de ruido (acumulado) por estación y por sector

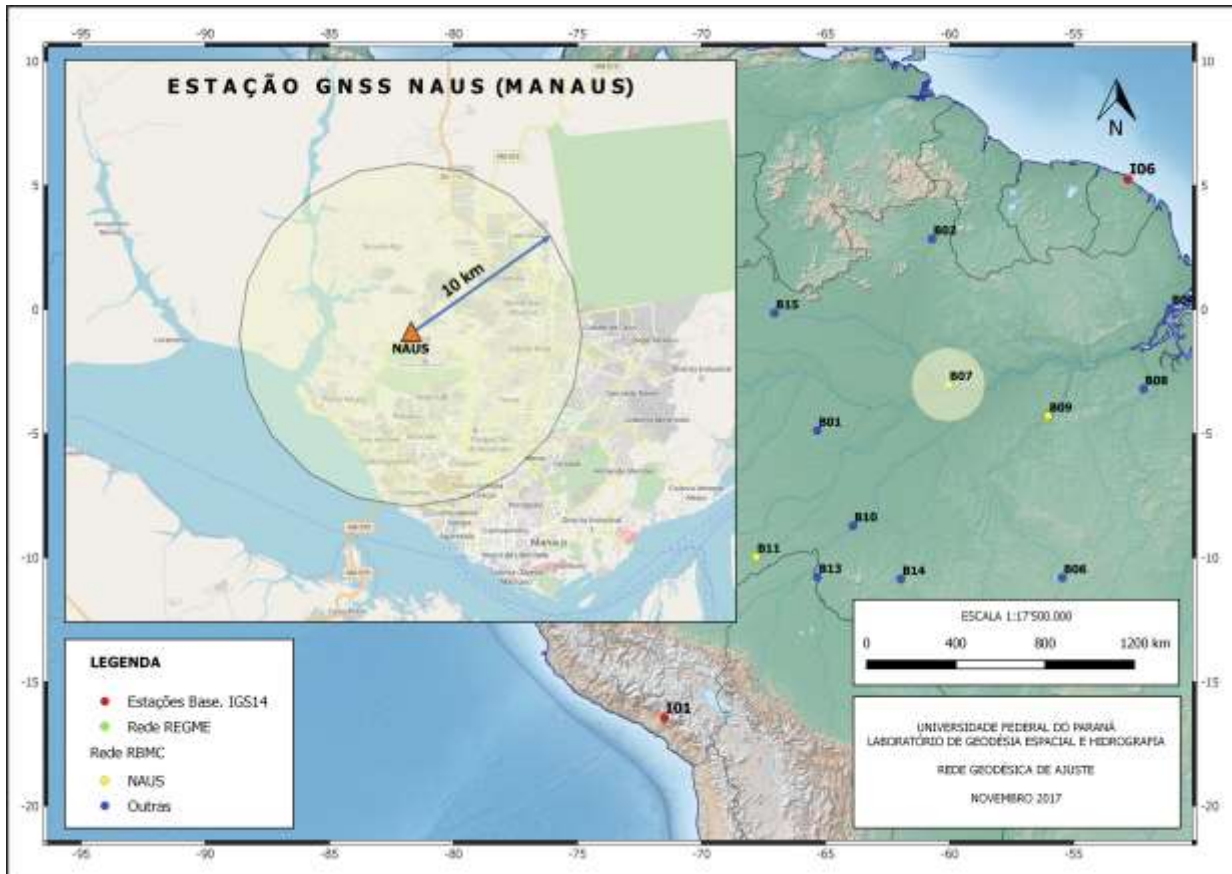


Figura. Localización de la Estación GNSS de Monitoreo Continuo NAUS
(Fuente: Pilapanta, C. et al. 2018)

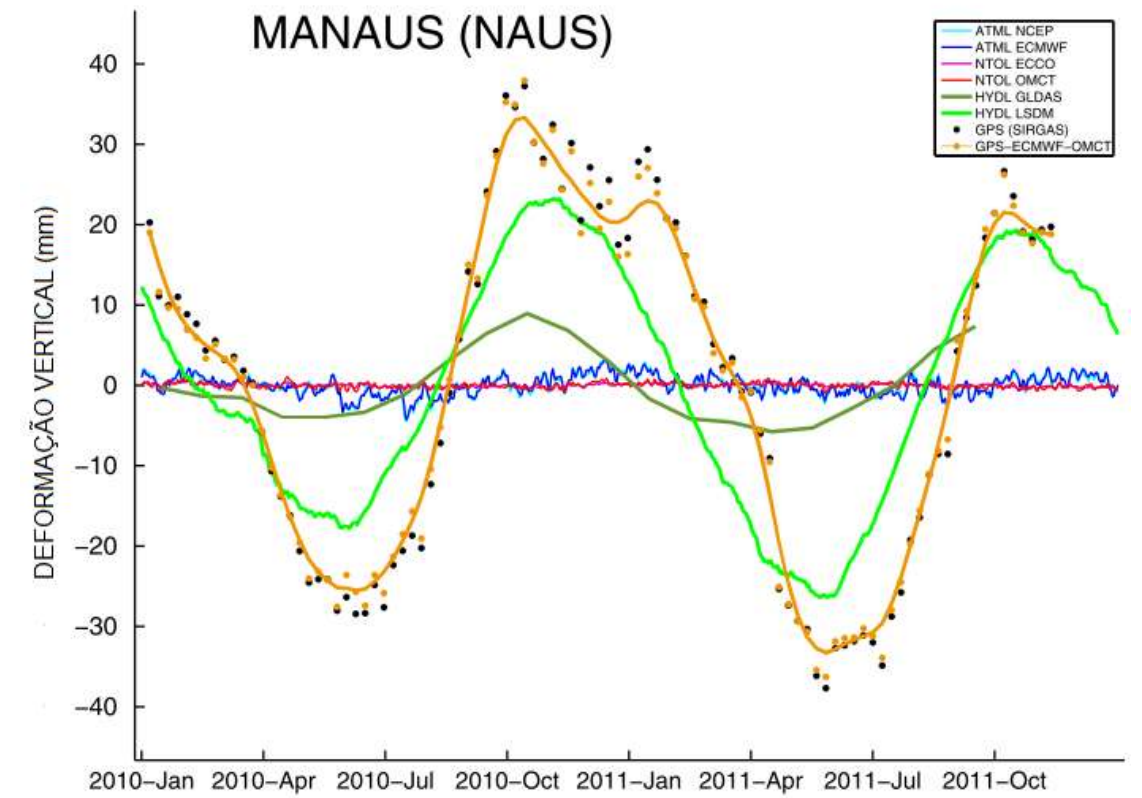


Figura. Deformación vertical de la estación GNSS de Monitoreo Continuo NAUS
(Fuente: Dill e Dobslaw 2013)

K. RESULTADOS. ESTUDIO DEL EFECTO DE CARGA ATMOSFÉRICA E HIDROLÓGICA

- ✓ PILAPANTA, C.; KRUEGER, C. & TIERRA, A. Avaliação do impacto do efeito de carga por pressão atmosférica em posicionamento GPS de alta precisão nas regiões do Equador Continental e da Amazônia Brasileira. **Dissertação**. Universidade Federal do Paraná, Setor de Ciências da Terra, Programa de Pós-Graduação em Ciências Geodésicas, 2018

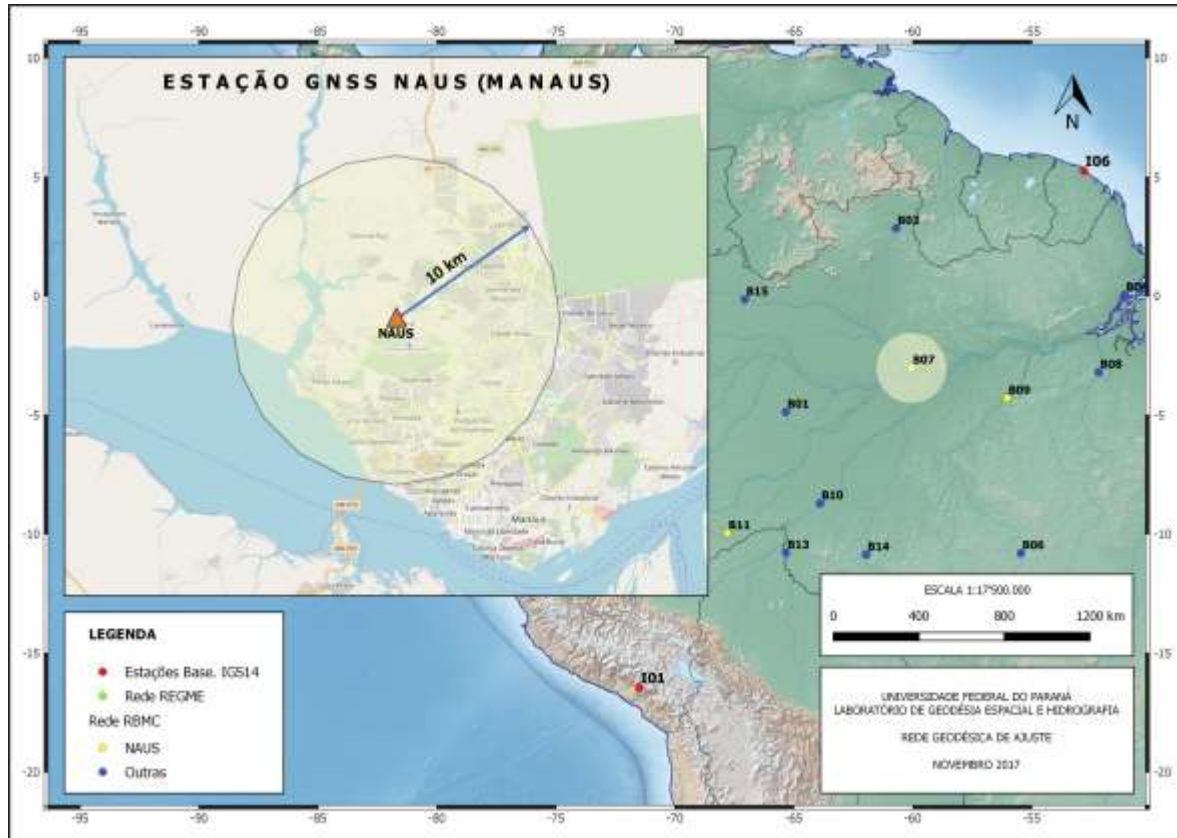


Figura. Localización de la Estación GNSS de Monitoreo Continuo NAUS
(Fuente: Pilapanta, C. et al. 2018)

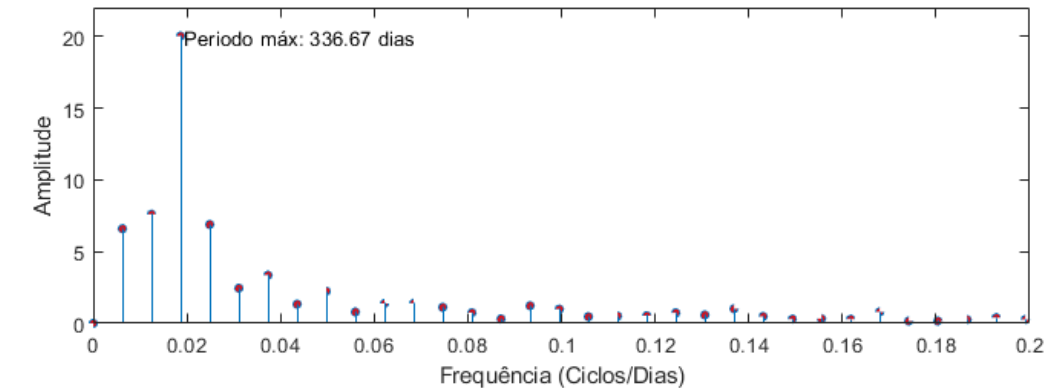


Figura. Espectro de frecuencia. Estación GNSS NAUS
(Fuente: Apolonio, A.; Pilapanta, C. & Krueger, C. 2019)

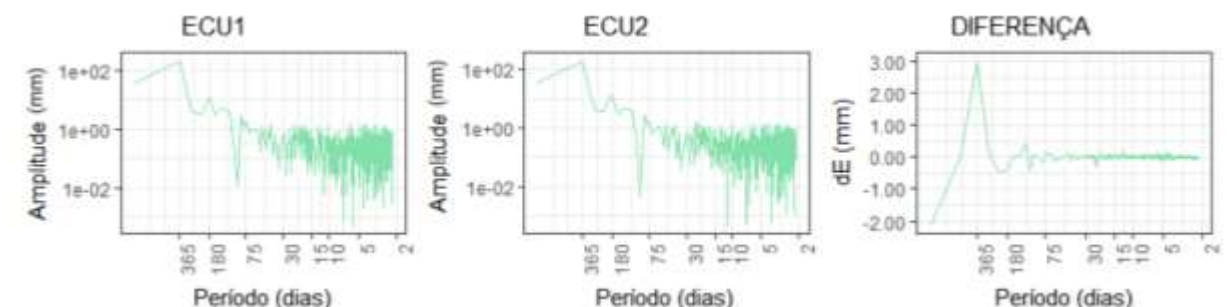


Figura. Diferencia espectral (LOMB-SCARGLE). Estación GNSS NAUS
(Fuente: Pilapanta, C. et al. 2018)

K. RESULTADOS. ESTUDIO DEL EFECTO DE CARGA ATMOSFÉRICA E HIDROLÓGICA

- ✓ PILAPANTA, C.; KRUEGER, C. & TIERRA, A. Avaliação do impacto do efeito de carga por pressão atmosférica em posicionamento GPS de alta precisão nas regiões do Equador Continental e da Amazônia Brasileira. **Dissertação**. Universidade Federal do Paraná, Setor de Ciências da Terra, Programa de Pós-Graduação em Ciências Geodésicas, 2018

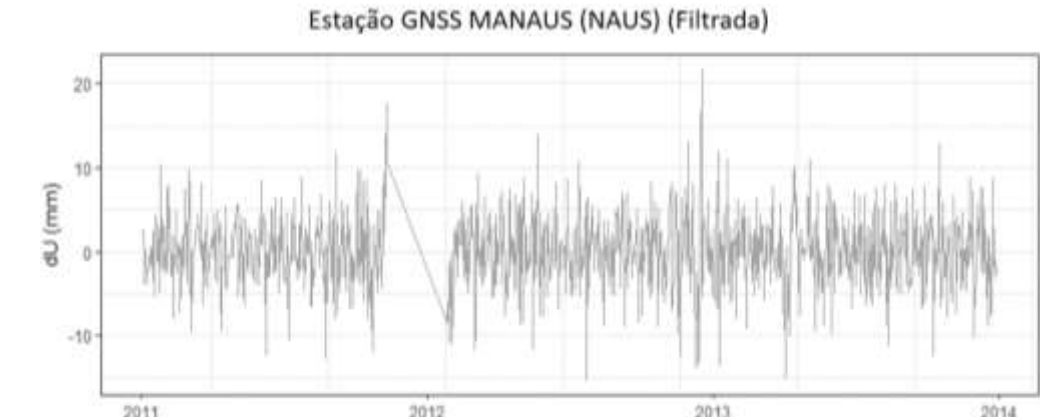
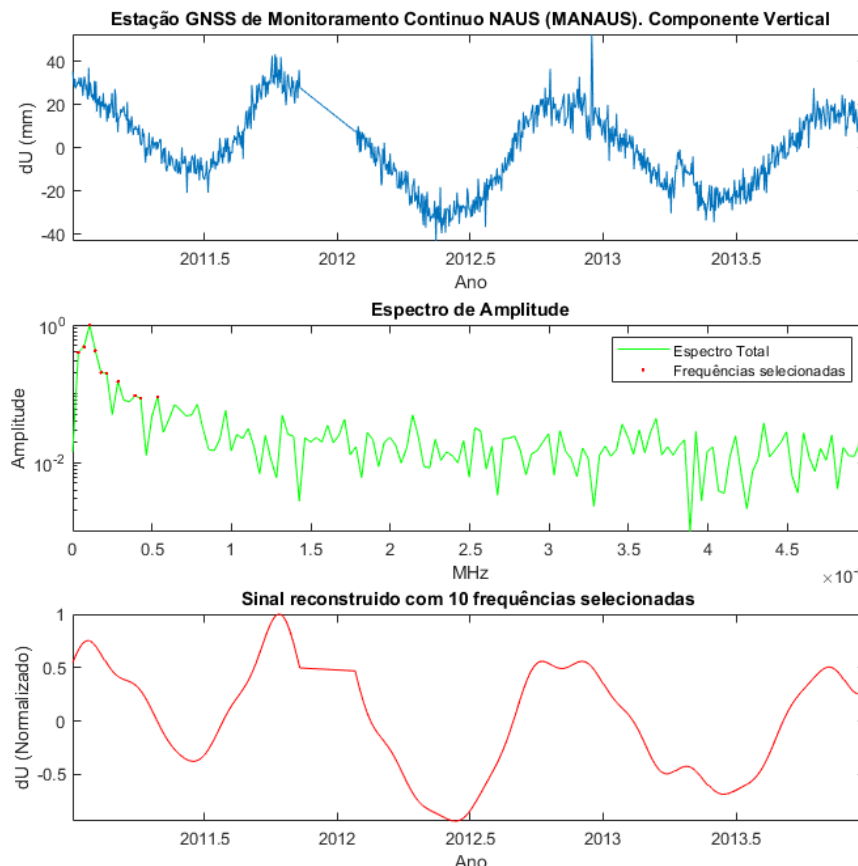


Table 4. Señales de Ruido

SÉRIE	GM WN σ_{WN}	BIC	PL+WN		BIC	κ
			σ_{PL}	σ_{WN}		
Original	15,25	4179,02	14,65	4,35	4122,77	-0,90
Filtrada	11,08	3869,919	11,93	3,32	3212,209	-0,64

Figura. Señal reconstruida. Estación GNSS de Monitoreo Continuo NAUS
(Fuente: Apolonio, A.; Pilapanta, C. & Krueger, C. 2019)

L. RESULTADOS. CÁLCULO DEL VECTOR DE VELOCIDAD. ESTACIÓN NAUS

$$x^i = x_0^i + v^i(t - t_0) + \underbrace{A_0^i \cos\left(\frac{2\pi(t-t_0)}{T_0} - \tau_0\right)}_{\text{Periodicidad anual (sinusoidal)}} + \underbrace{A_1^i \cos\left(\frac{2\pi(t-t_0)}{T_1} - \tau_1\right)}_{\text{Periodicidad semi-anual (sinusoidal)}} + \varepsilon$$

Posición
inicial

Velocidad
(lineal)

Periodicidad anual
(sinusoidal)

Periodicidad semi-anual
(sinusoidal)

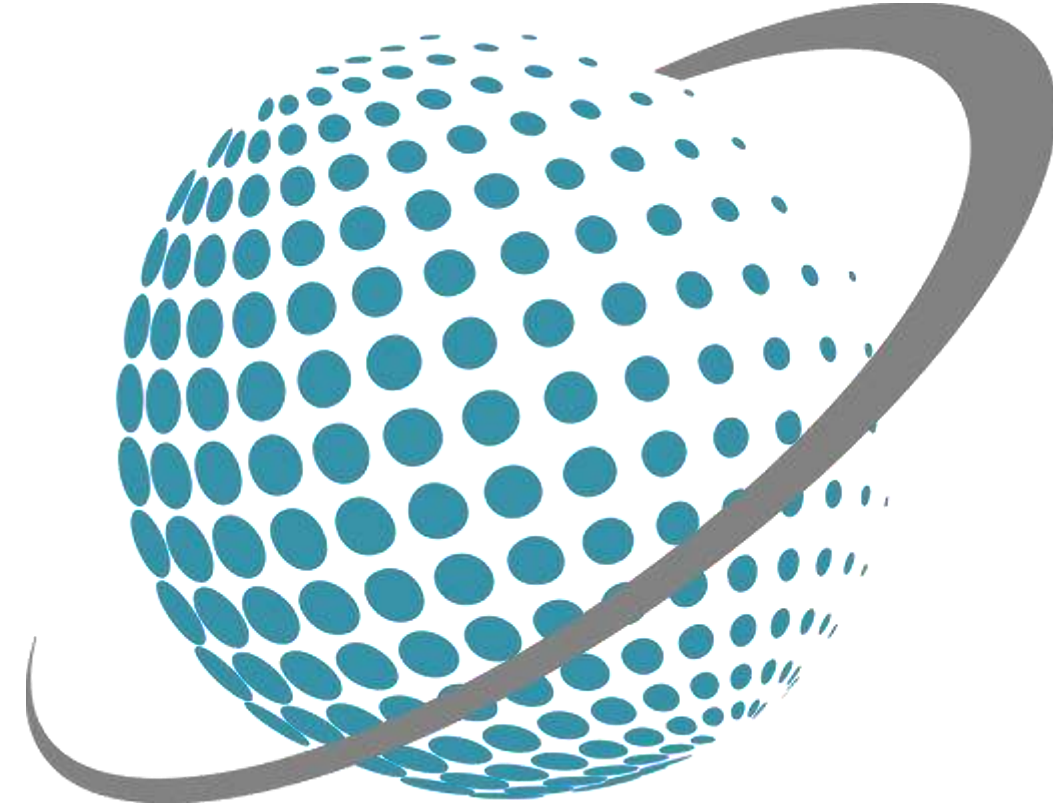
POWER LAW NOISE + WHITE NOISE	BIC = 3212,209	PARÁMETRO	VALOR	σ	UNIDAD
Posición inicial (x_0)	-22,583	+/- 7,663	mm		
velocidad (v_i)	-3,228	+/- 1,505	mm/año		
Periodo anual	24,375	+/- 0,768	mm		
Periodo semianual	-19,213	+/- 0,789	mm		



FLICKER NOISE + WHITE NOISE	BIC = 3214,772	PARÁMETRO	VALOR	σ	UNIDAD
Posición inicial (x_0)	-22,539	+/- 11,271	mm		
velocidad (v_i)	-3,222	+/- 1,508	mm/año		
Periodo anual	24,375	+/- 0,769	mm		
Periodo semianual	-19,212	+/- 0,791	mm		

GAUSS MARKOV WHITE NOISE	BIC = 3869,919	PARÁMETRO	VALOR	σ	UNIDAD
Posición inicial (x_0)	-19,005	+/- 12,90	mm		
velocidad (v_i)	-2,609	+/- 3,932	mm/año		
Periodo anual	24,471	+/- 1,366	mm		
Periodo semianual	-18,544	+/- 1,404	mm		

RANDOM WALK NOISE + WHITE NOISE	BIC = 3862,879	PARÁMETRO	VALOR	σ	UNIDAD
Posición inicial (x_0)	-21,032	+/- 13,79	mm		
velocidad (v_i)	-2,351	+/- 6,651	mm/año		
Periodo anual	24,445	+/- 1,481	mm		
Periodo semianual	-18,443	+/- 1,522	mm		



BIBLIOGRAFÍA

K. BIBLIOGRAFÍA

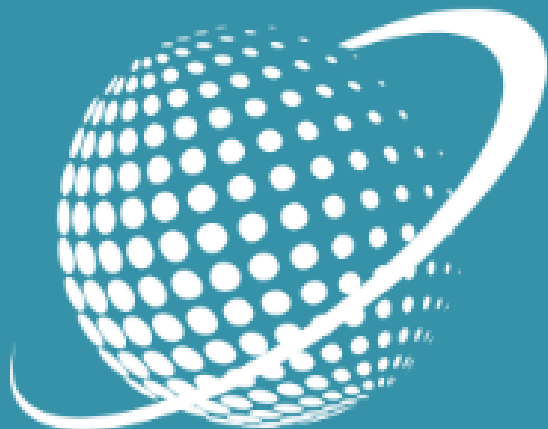
- Agnew, D. C. (1992). The Time-Domain behavior of Power-Law noises. *Geophysical Research Letters*, 19(4), pp. 333–336.
- Bos, M. S. et al. (2008). Fast error analysis of continuous GPS observations. *Journal of Geodesy*. doi: 10.1007/s00190-007-0165-x.
- Bos, M. S. et al. (2013). Fast error analysis of continuous GNSS observations with missing data. *Journal of Geodesy*, 87, pp. 351–360. doi: 10.1007/s00190-012-0605-0.
- Dill, R. and Dobslaw, H. (2013). Numerical simulations of global-scale high-resolution hydrological crustal deformations. *Journal of Geophysical Research: Solid Earth*, 118(9), pp. 5008–5017. doi: 10.1002/jgrb.50353.
- Johnson, H. O. and Agnew, D. C. (1995). Monument motion and measurements of crustal velocities. *Geophysical Research Letters*, 22(21), pp. 2905–2908. doi: 10.1029/95GL02661.
- Kadane, J. B. and Lazar, N. A. (2004). Methods and Criteria for Model Selection. *Journal of the American Statistical Association*, 99(465), pp. 279–290. doi: 10.1198/016214504000000269.
- Klos, A. et al. (2016). Noise analysis of continuous GPS time series of selected EPN stations to investigate variations in stability of monument types. In International Association of Geodesy Symposia. doi: 10.1007/1345_2015_62.
- Klos, A., Bogusz, J. and Moreaux, G. (2017). Stochastic models in the DORIS position time series: estimates for IDS contribution to ITRF2014. *Journal of Geodesy*, pp. 1–21. doi: 10.1007/s00190-017-1092-0.
- Langbein, J. (2004). Noise in two-color electronic distance meter measurements revisited. *Journal of Geophysical Research B: Solid Earth*. doi: 10.1029/2003JB002819.
- Langbein, J. and Bock, Y. (2004). High-rate real-time GPS network at Parkfield: Utility for detecting fault slip and seismic displacements. *Geophysical Research Letters*, 31(15), pp. 2–5. doi: 10.1029/2003GL019408.
- Langbein, J. and Johnson, H. (1997). Correlated errors in geodetic time series: Implications for time-dependent deformation. *Journal of Geophysical Research*, 102(10), pp. 591–603. doi: 10.1029/96JB02945.
- Mandelbrot, B. B. and Van Ness, J. W. (1968). Fractional Brownian Motions, Fractional Noises and Applications. *SIAM Review*, 10(4), pp. 422–437. doi: 10.1137/1010093.
- Mao, A. et al. (1999). Noise in GPS coordinate time series. *Journal of Geophysical Research*, 104(B2), pp. 2797–2816. doi: 10.1029/1998JB900033.
- Montecino, H. D., de Freitas, S. R. C., Báez, J. C., & Ferreira, V. G. (2017). Effects on Chilean Vertical Reference Frame due to the Maule Earthquake co-seismic and post-seismic effects. *Journal of Geodynamics*, 112, pp. 22–30.
- Pilapanta, C.; Krueger, C. and Tierra, A. Stochastic model of the Brazilian GPS network coordinates time series. *Boletim de Ciências Geodésicas*, v. 24, n. 4, p. 545–563, 2018
- Sánchez, L. et al. (2015). SIRGAS Core Network Stability. International Association of Geodesy Symposia, 143, pp. 183–191. doi: 10.1007/1345_2015_143.
- Wdowinski, S. et al. (1997). Southern California permanent GPS geodetic array: Spatial filtering of daily positions for estimating coseismic and postseismic displacements induced by the 1992 Landers earthquake. *Journal of Geophysical Research: Solid Earth*, 102(B8), pp. 18057–18070. doi: 10.1029/97JB01378.
- Williams, S. (2003). The effect of coloured noise on the uncertainties of rates estimated from geodetic time series. *Journal of Geodesy*, 76, pp. 483–494. doi: 10.1007/s00190-002-0283-4.
- Williams, S. (2015). Description of GPS uncertainties within the Long Term Study on Anomalous Time-Dependent Subsidence.
- Williams, S. D. P. (2003a). Offsets in Global Positioning System time series. *Journal of Geophysical Research*, 108. doi: 10.1029/2002JB002156.
- Williams, S. D. P. (2003b). The effect of coloured noise on the uncertainties of rates estimated from geodetic time series. *Journal of Geodesy*. doi: 10.1007/s00190-002-0283-4.
- Williams, S. D. P. (2008). CATS: GPS coordinate time series analysis software. *GPS Solutions*, 2, pp. 147–153. doi: 10.1007/s10291-007-0086-4.



AGRADECIMIENTOS

L. AGRADECIMIENTOS





LAGEH
Laboratório de Geodésia Espacial e Hidrografia

MUCHAS GRACIAS